

# Projekt: Mobilfunk und Singalverabreitung

Lukas Becker, Tobias Frahm

June 18, 2021

Date Performed:	June 18, 2021
Partners:	Lukas Becker, Tobias Frahm
Instructor:	Prof. Dr. Sauvergerd
University:	University of Applied Science

## 1 Projektbeschreibung und Ziel des Projektes

In diesem Projekt wird eine Continus Phase Frequency Shift Keying (CPFSK) Demodulation von Wetterdaten (Seewetterbericht des Senders Pinneberg auf Kurzwelle) in Echtzeit durchgeführt. Diese CPFSK Demodulation wird in Form eines *Software Radios* auf einem Digitalen Signalprozessor (DSP) implementiert. Die CPFSK-kodierten Wetterdaten werden mit einer Draht-Antenne im Frequenzbereich  $10.1\text{MHz}$  bis  $11.1\text{MHz}$  empfangen und verstärkt. Bei dem so empfangenem Signal handelt es sich um CPFSK-Modulierte Seewetterdaten. Ziel das Projektes ist es, zunächst in Matlab ein Modell zu erstellen, welches in der Lage ist, die CPFSK modulierten Seewetterdaten zu decodieren und diese auszugeben. Für das Matlab Modell wird hierfür zunächst ein CPFSK-Signal in Matlab erzeugt um die ersten Schritte durchzuführen. Später in der Simulation kann hier auf ein Zeitbegrenztes Signal als Grundlage für das Matlab Modell genutzt zurückgegriffen werden. Sobald das Matlab Modell steht, wird die Simulation in C-Code überführt und anschließend auf einem DSP implementiert.

## 2 Signalfluss Empfänger

Abb. 1 zeigt den Aufbau des Softwareradios. Das  $11\text{MHz}$  Signal wird empfangen, es findet eine erste Unterabtastung durch den ADC auf dem DSP statt. Hierbei wird das Band auf ca.  $2\text{MHz}$  geschmälter. Das erste Filter, ein FIR-Polyphasen Bandpassfilter, Kapitel 3, mischt das Signal ein weiteres mal durch unterabtastung in einen Frequenzbereich von wenigen kilo Herz. In dem so runtergemischten Band tritt nun entweder die Mark (logisch 1), oder die Space (logisch 0) auf. Um hier differenzieren zu können, muss können unterschiedliche methoden Angewandt werden, in dieser Arbeit wurde zunächst ein Ansatz über einen Hilberfilter, Kapitel 4, verfolgt. Später hat sich jedoch das Kammfilter als

sinnvollere Alternative herausgestellt. Das Kammfilter in Kapitel 5 sorgt dafür, dass die Frequenzen deutlich voneinander zu differenzieren sind. Sobald das Signal durch das Kammfilter aufbereitet ist, kann die Demodulation durch einen FM-Verzögerungs Demodulator 6 mit anschließender Decodierung erfolgen.

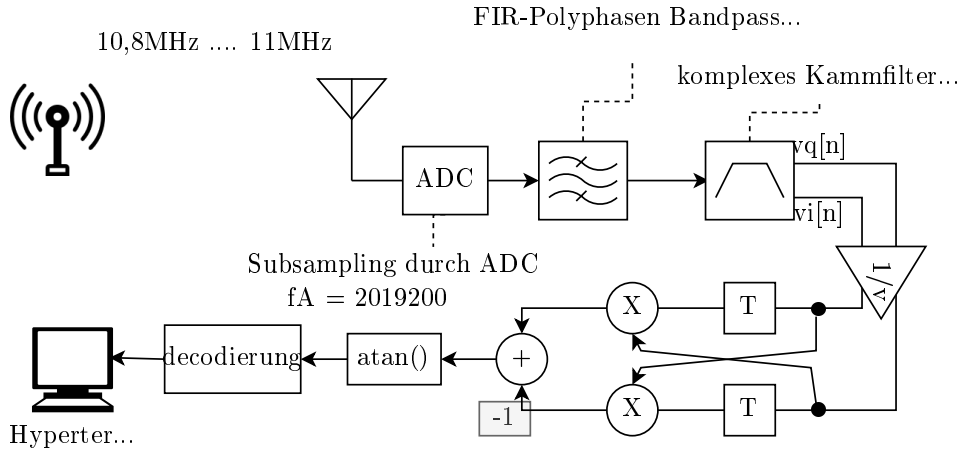


Figure 1: Durch den ADC findet direkt beim Empfang eine Unterabtastung statt. Durch eine weitere Unterabtastung im Bandpass, wird das Signal in das Basisband verschoben. Anschließend durch das Kammfilter für die Demodulation mit anschließender Decodierung aufbereitet und auf dem Hyperterminal angezeigt.

### 3 FIR-Polyphasen Bandpass

Das FIR-Polyphasen Bandpassfilter unterabtastet die 2MHz Signal ein weiteres mal durch eine Dezimationsstufe und mischt das Nutzsignal ins Basisband. Zunächst wird hierfür das FIR-Bandpassfilter in Matlab ausgelegt. Anschließend werden die in Matlab erzeugten Koeffizienten aufgeteilt in 527 dezimationsstufen und in eine C-Datei geschrieben. und später in der C-Implementierung verwendet.

#### 3.1 Theorie

In dem 2MHz-Signal befindet sich das eigentliche Nutzsignal  $\frac{1MHz}{5kHz}$ -Mal, um hier die beiden Frequenzen für  $w_{mark}$  und  $w_{space}$  aus einem der 5kHz Bänder herauszufiltern, wird ein FIR-Bandpass mit Dezimationsstufe eingesetzt. Mit der festgelegten Abtastfrequenz des ADC von  $f_A = 2,0192MHz$ , liegt der erste Träger bei  $f_T \approx 4kHz$ . Beachtet man nun das  $\Delta f = 742Hz$  breit ist, muss das FIR-Bandpassfilter mindestens ein Band von  $f_T \pm \frac{\Delta f}{2}$  passieren lassen. Daraus ergibt sich ein notwendiger durchlassbereich von  $B_{FIR} > 742Hz$ . Sinnvolle Grenzen ergeben sich dann bei  $f_u = 3800Hz$  und  $f_o = 4800Hz$ .

### 3.2 Matlab

Zu Auslegung des FIR Filters in Matlab ist. 3.2, müssen zunächst die Grenz- und Stopfrequenzen festgelegt werden. Es ergeben sich  $f_u = 3800\text{Hz}$  und  $f_o = 4800\text{Hz}$ , die Stopfrequenzen  $f_{u\text{stop}} = f_u - 1500$  und  $f_{o\text{stop}} = f_o + 1500$ . Bei den Stopfrequenzen gilt es abzuwägen, umso steiler das Filter, desto mehr Koeffizienten, desto mehr Rechenzeit wird später in C benötigt. Der Amplitudengang des Filters, siehe Abb. 3.2, zeigt das gewünschte Verhalten. Es werden 2056 Koeffizienten benötigt.

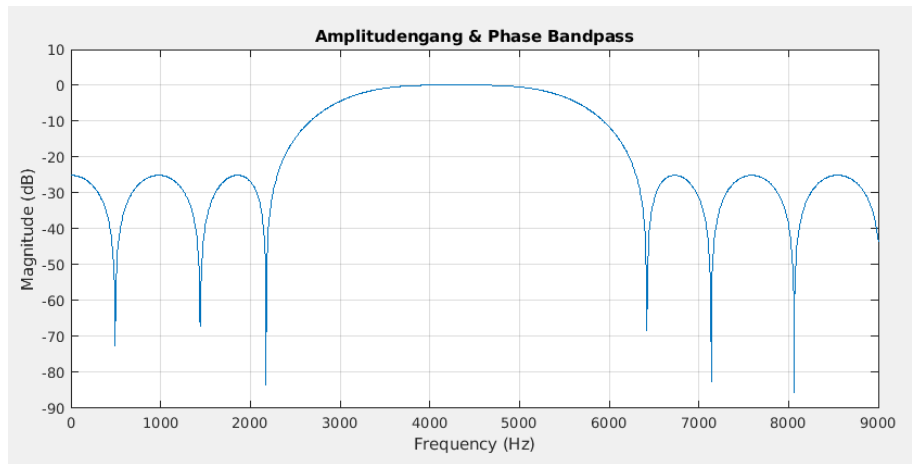


Figure 2: FIR-Bandpassfilter Amplitudengang. Das FIR Filter benötigt 2056 Koeffizienten.

### 3.3 C

In der C-Implementierung wird in der endgültigen Version mit dem Datentyp *short* gearbeitet. Dies trägt zu einer besseren performance auf dem DSP bei. Die Koeffizienten des FIR-Filters werden in 527 *const short* Arrays der Größe 4 aufgeteilt, siehe 3.3, und in den FIR Filter übergeben. Es wird Sample für Sample eingelesen, dezimiert und durch die Filterroutine verarbeitet ist. 3.3.

## 4 Hilbert Transformator

Der Hilbert Transformator wandelt ein reelles Zeitsignal  $x(t)$  in ein analytisches Signal  $x_+(t)$  um. Dies wird benötigt um das Signal anschließend mit dem FM-Verzögerungs Demodulator, beschrieben in Kapitel 6, zu demodulieren. Mit  $\mathcal{H}(x(t))$ , der Hilbert Transformaten ergibt sich dies wie folgt:

$$x_+(t) = x(t) + j\mathcal{H}(x(t))$$

```

1 function [outputArg1, outputArg2, outputArg3] =
2     band(low, high, inputSig, sample_rate)
3 %FIR Bandpass
4 %
5 rp = 3;
6 rs = 40;
7 dev = [(10^(rp/20)-1)/(10^(rp/20)+1) 10^(-rs/20)];
8 low_stop = low - 1500;
9 high_stop = high + 1500;
10 [N_FIR,fo,mo,w] = firpmord([low_stop low high high_stop],
11     [0 1 0], [0.05, 0.01, 0.05], sample_rate);
12 fprintf("N_FIR = %d\n", N_FIR);
13 coeff = firpm(N_FIR,fo,mo,w);
14
15 freqz(coeff,1, 200000, sample_rate)
16
17 xb = filter(coeff, 1, inputSig);
18 outputArg1 = xb;
19 outputArg2 = coeff;
20 outputArg3 = fo;
21 end

```

Listing 1: FIR Filter in Matlab

```

1 const short FIR_BANDPASS_1[4] = {1304, 22, 186, -8,};

```

Listing 2: Beisphafte Polyphase in C, die Koeffizienten

```

1  short FIR_filter_sc(short FIR_delays[], const short FIR_coe[],
2      short int N_delays, short x_n, int shift) {
3      short i, y;
4      int FIR_accu32 = 0;
5      // read input sample from ADC
6      FIR_delays[N_delays-1] = x_n;
7      // clear accu
8      FIR_accu32 = 0;
9      // FIR filter routine
10     for( i = 0 ; i < N_delays ; i++ )
11         FIR_accu32 += FIR_delays[N_delays-1-i] * FIR_coe[i];
12
13     for( i = 1 ; i < N_delays ; i++ )
14         FIR_delays[i-1] = FIR_delays[i];
15
16     y = (short) (FIR_accu32 >> shift);
17     return y;
18 }

```

Listing 3: FIR-Polyphasenbandpass Implementierung in C

Wobei  $y(t) = \mathcal{H}(x(t))$  sich mit  $Y(f) = X(f) \cdot -j\text{sign}(f)$  berechnen lässt. Wird dieses analytische Signal jedoch dem FM-Verzögerungs Demodulator übergeben, ist aufgrund des geringen Frequenzhub  $\Delta f$  eine eindeutige Demodulation jedoch nicht möglich. Der Abstand zwischen beiden Signalen ist so gering, dass sich die Frequenzanteile von  $w_{\text{mark}}$  und  $w_{\text{space}}$  teilweise überlappen. Daher wird dieser Ansatz auch nicht weiter verfolgt.

## 5 Komplexes Kammfilter

Eine Alternative zu dem in Kapitel 4 beschriebenen Hilber Transformator ist ein Kammfilter. Um die Frequenzen besser voneinander differenzieren zu können, wird ein Kammfilter genutzt. Dieser kann durch eine Anzahl  $N$  Verzögerer realisiert werden. Ziel in der Auslegung des Kammfilters ist es, die Nullstellen so zu legen, dass entweder  $w_{\text{mark}}$  oder  $w_{\text{space}}$  des Nutzsignals im positiven Frequenzbereich gedämpft wird, und das jeweils andere  $w$  im negativen Bereich. Zunächst wird das Filter dafür so ausgelegt, dass der Abstand zwischen Nullstelle und Hochpunkt in der Filterübertragungsfunktion ca. dem Frequenzhub  $\Delta f$  entspricht, anschließend muss es so verschoben werden, dass die Nullstellen wie beschrieben auf dem gewünschten  $w_{\text{mark/space}}$  liegen. So wird der Frequenzunterschied zwischen den beiden Frequenzen von  $\Delta f$  auf  $2 \cdot f_A$  angehoben. Die Frequenzen sind damit deutlich unterscheidbar und können im nächsten Schritt, der Demodulation eindeutig zugeordnet werden.

## 5.1 Theorie

Ausgehend von der Übertragungsfunktion

$$H(z) = 1 + z^{-N}$$

mit

$$z = e^{j\omega}$$

ergibt sich

$$H(j\omega) = 1 + e^{-j\omega N}$$

und dem ausklammern von  $e^{-j\frac{\omega N}{2}}$ :

$$H(e^{j\omega}) = e^{-j\frac{\omega N}{2}} \cdot (e^{-j\frac{\omega N}{2}} + e^{j\frac{\omega N}{2}})$$

$e^{-j\frac{\omega N}{2}} \neq 0$  daher wird nur  $(e^{-j\frac{\omega N}{2}} + e^{j\frac{\omega N}{2}})$  weiter betrachtet  
Es gilt:

$$(e^{-j\frac{\omega N}{2}} + e^{j\frac{\omega N}{2}}) = 2\cos(\frac{\omega N}{2})$$

Zur bestimmung der Nullstellen, Argument des Cosinus betrachten.

Allg.:  $0 = \cos(\frac{\pi}{2} + k\pi)$

$$\frac{w_0 N}{2} = \frac{\pi}{2} + k\pi$$

$$\Leftrightarrow w_0 = \frac{2\pi k + \pi}{N}$$

mit  $k = 0$ ,  $w_0 = 2\pi \cdot \frac{f}{f_A}$  und nach  $N$  aufgelöst, ergibt sich:

$$\Leftrightarrow N = \frac{\pi}{2\pi \frac{f}{f_A}}$$

eingesetzt:

$$N = \lfloor \frac{\pi}{2\pi \frac{450Hz}{3832Hz}} \rfloor = 4$$

Der Faktor  $N$  bestimmt die Anzahl der benötigten Verzögerer, damit  $\omega_0$  im idealfall genau so auf  $\omega_{mark}$  oder  $\omega_{space}$  liegen dass eine der beiden Frequenzen im positiven Frequenzbereich gedämpft wird und die andere im Negativen. In diesem Fall liefert  $N = 4$  das gewünschte Ergebnis, siehe Abb. 5.2, Latexcode 5.2

## 5.2 Matlab

In Matlab wird das Filter überprüft, Implementiert wird das Filter mithilfe von 4 Verzögerern. Dafür wird in Matlab ein mit  $N$ -Nullen gefülltes Array verwendet. In Abb. 5.2 ist zu sehen, dass die Nullstellen des Kammfilter sehr gut auf den jeweiligen Frequenzen  $-\omega_{mark}$  und  $\omega_{space}$  liegen.

```

1      N = 4
2      fA_green = 3832;
3      freq_comb = (-fA_green:fA_green)/fA_green;
4
5      H_comb = freqz([zeros(1,N), 1], 1, 2*pi*freq_comb)
6                  +i*freqz(1,1,2*pi*freq_comb);
7
8      figure(4);
9      plot(freq_comb, abs(H_comb), 'b-')
10     hold on;
11     stem(-732/fA_green, 2, 'k');
12     stem(-1187/fA_green, 2, 'r');
13     stem(732/fA_green, 2, 'k');
14     stem(1187/fA_green, 2, 'r');
15     grid on
16     hold off;
17     xlabel(['normierte Frequenz'])
18     ylabel(['Amplitude'])
19     title('Amplitudengang Kammfilter');

```

Listing 4: In Matlab wird überprüft ob die Berechnung des  $N$  korrekt sind, indem das Filter mit den Frequenzen  $w_{mark}$  und  $w_{space}$  geplottet wird, siehe Abb. 5.2. Es wird kontrolliert ob die Nullstellen in den richtigen Punkten auf der Frequenzachse liegen.

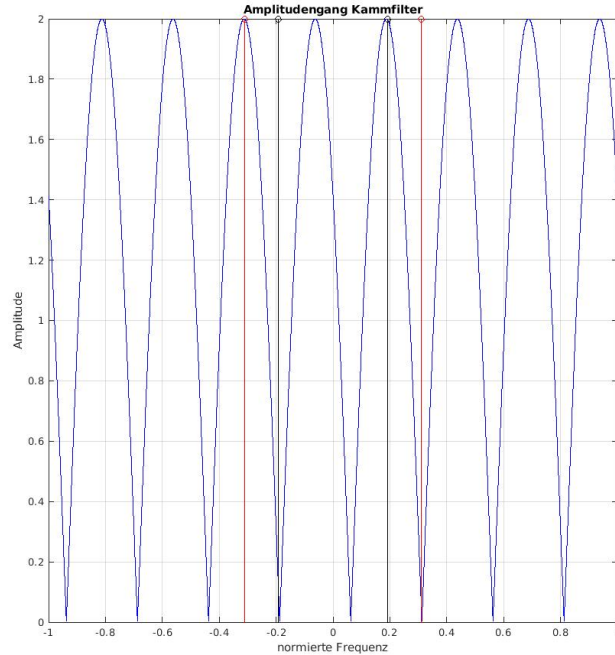


Figure 3: Kammfilter mit den beiden Frequenzen  $\omega_{mark}$  und  $\omega_{space}$ , das Kammfilter lässt jeweils eine der beiden Frequenzen passieren.

### 5.3 C

Für die C-Implementierung, siehe 5.3, wird jedes eingabe Sample um  $N = 4$  verzögert. Die Verzögerung wird über ein Buffer Array der Länge  $N$  realisiert:

## 6 FM-Verzögerungsdemoulator

Der FM-Verzögerungsdemoulator wird im Worksheet 2 des Projekts Behandelt. Der FM-Verzögerungsdemoulator soll das CPFSK-modulierte Signal demodulieren und eine Rechteckfolge ausgeben. Der eigentliche Ansatz aus Worksheet zwei mit einem abschließendem sinus als nicht liniarer Verstärker funktioniert idR nicht, da die Frequenzen von  $w_{mark}$  und  $w_{space}$  aufgrund der Symmetrie des Sinus ( $\sin(f) = \sin(-f)$ ) nicht mehr von einander zu Unterscheiden sind. *Warum gehts denn doch? Was machen wir anders?*



```

1      short delayed_sample = 0;
2      short cnt = 0;
3      short *delay_iter = NULL;
4      short delay_line[4];
5      short *rotating_rw = delay_line;
6
7      static void process_comb_and_demod() {
8          // Comb filter
9          I_sig = dec_out_short + 175 * delayed_sample;
10         Q_sig = 984 * delayed_sample;
11         ....
12     }
13
14     static void output_sample() {
15         dec_out_short = dec_out >> 5;
16
17         // Delayline counter overflow management
18         if (rotating_rw == delay_line + 4)
19             rotating_rw = delay_line;
20
21         // Rotating delayed sample storage
22         delayed_sample = *rotating_rw;
23         *rotating_rw = dec_out_short;
24         rotating_rw += 1;
25
26         cnt++;
27     }

```

Listing 5: C-Implementierung des Kammfilters mithilfe eines Verzögerer Buffers

## 6.1 Matlab

## 6.2 C

# 7 Decodierung

Die Decodierung liest die  $D = \{0,1\}$  Bitweise ein und schiebt diese in einen Buffer. Die Symbolfrequenz von  $50Hz$  bestimmt die Abtastrate des Decodierers. Da bei dem Start/Stop-Bit um das halbe Bit der Stop-Sequenz erkennen zu können liegt hier folgender Ansatz zugrunde:

$$f_{decode} = \lfloor f_A * \frac{1}{f_{symbol} \cdot 2} \rfloor$$

eingesetzt

$$f_{decode} = \lfloor 3832Hz * \frac{1}{50Hz \cdot 2} \rfloor = 38$$

Für die Implementierung wird im C-Code der Aufruf durch eine einfache  $IF$  und eine Zählvariabel gesteuert. Der Decodierer, siehe 7, schiebt Bit für Bit durch einen Buffer, liegt die Start/Stop Sequenz  $0x001F$  in dem Buffer, werden die nächsten 10 Bits, als Bits eines Buchstaben interpretiert. Jeder Buchstabe wird durch 5 Bits repräsentiert, in 7 ab Zeile 20 um die Hälfte komprimiert. Das daraus erzeugt Ergebnis, repräsentiert den Index einer LookUp Table für den entsprechenden Buchstaben.

---

# 8 Simulation: Matlab

In dem folgenden Kapitel wird zunächst ein Rechteckimpuls auf eine Trägerfrequenz mithilfe der CPFSK moduliert.

## 8.1 CPFSK Modulation

Die CPFSK Modulation ist eine Methode um digitale Signale mithilfe einer Trägerfrequenz analog zu übertragen. Bei der CPFSK Modulation handelt es sich um eine Frequenzmodulation ohne Sprünge im Phasenübergang. In Abb. 4 ist im oberen Bereich das binäre Signal, im mittleren Bild die Trägerfrequenz und unten das binäre Signal auf die Trägerfrequenz moduliert zu sehen. Der Phasenübergang ohne Sprung ist notwendig, da Sprünge ein theoretisch unendliches breites Band benötigen somit die Nachbarkanäle stören würde.

## 8.2 Rechteckimpuls $d(i)$

Mit Angabe der Symboldauer  $T = 20ms$  lässt sich auf die minimale Abtastfrequenz nach Nyquist-Shannon schließen. Die minimale Abtastfrequenz  $f_A$  muss mehr als doppelt so groß wie die höchste abzutastende Frequenz sein.

Aus

```

1 void decode(unsigned short bit) {
2
3     if (!current_lut)
4         current_lut = lookup_char;
5
6     buffer = buffer << 1;
7     buffer = buffer | bit;
8     startstop = buffer & 0x001F;
9
10    if (startstop_holdoff > 0) // Underflow protection
11        startstop_holdoff -= 1;
12
13    if (startstop == STOP_SEQUENCE && startstop_holdoff == 0) {
14        startstop_holdoff = 11;
15        // Shift over the start and stop section
16        // and mask the 10 message bits
17        index_pre = (buffer >> 5) & 0x03FF;
18        // Compress bit stream to half its size
19        // Turn this 1 1 1 1 0 0 1 1 0 0 into 1 1 0 1 1
20        real_index = (((index_pre >> 0) & 0x0001) << 4)
21            | (((index_pre >> 2) & 0x0001) << 3)
22            | (((index_pre >> 4) & 0x0001) << 2)
23            | (((index_pre >> 6) & 0x0001) << 1)
24            | (((index_pre >> 8) & 0x0001) << 0);
25
26        if (real_index == SWITCH_TO_CHAR) {
27            // Change to characters
28            current_lut = lookup_char;
29        } else if (real_index == SWITCH_TO_NUM) {
30            // Change to numbers
31            current_lut = lookup_num;
32        } else {
33            #ifdef USE_MSVC_ANSI_C_SIM
34            // Everything else is a valid character
35            printf(" >> %c <<\n", current_lut[real_index-1]);
36            #endif
37        }
38    }
39 }

```

Listing 6: C-Implementierung: Funktion des Decodierers

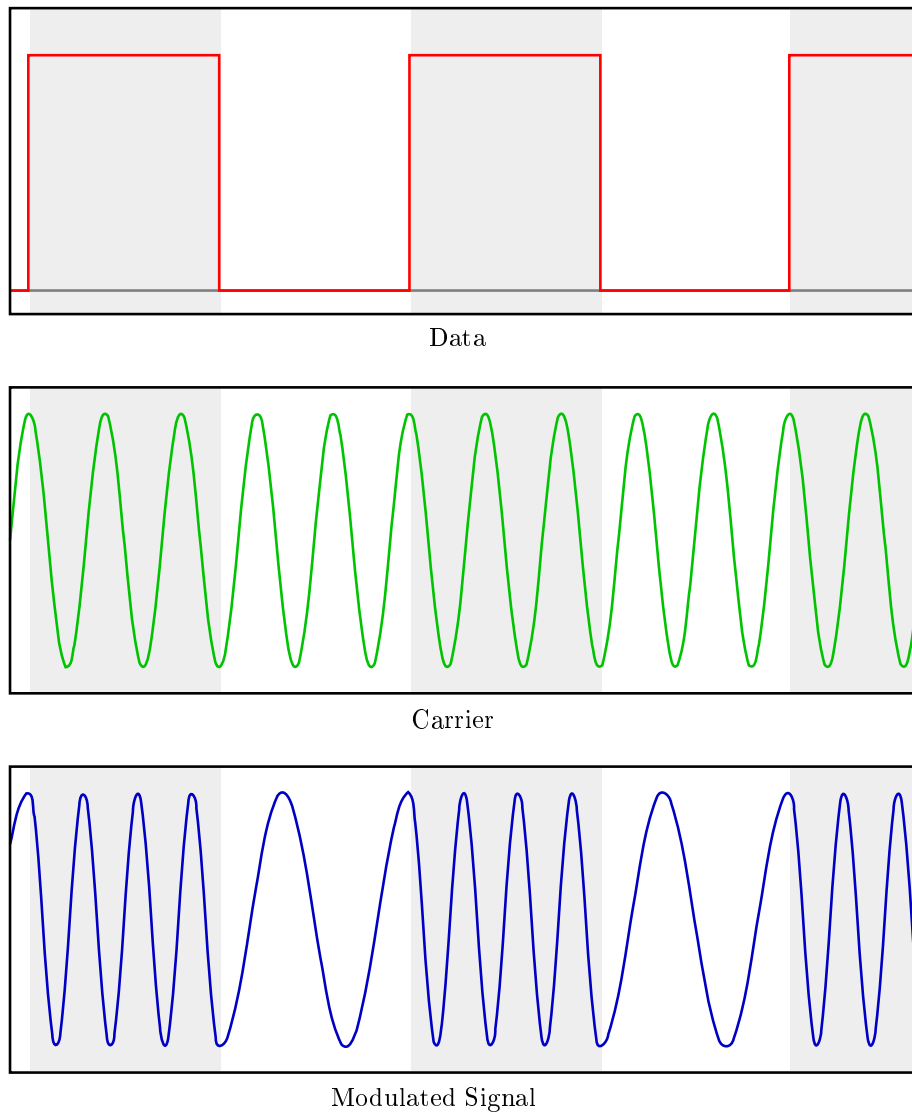


Figure 4: Beispielhaftes CPFSK moduliertes Trägersignal einer binären Information. Die Phasenübergänge sind ohne Sprung. Quelle: N.N (2021)

$$f_A > 2 * f_{max}$$

mit

$$f_{max} = \frac{1}{T_{max}}; T_{max} = T = 20ms$$

ergibt sich

$$f_A > 2 * \frac{1}{T}$$

Eingesetzt:

$$f_A > 2 * \frac{1}{20ms}$$

$$f_A > 100Hz$$

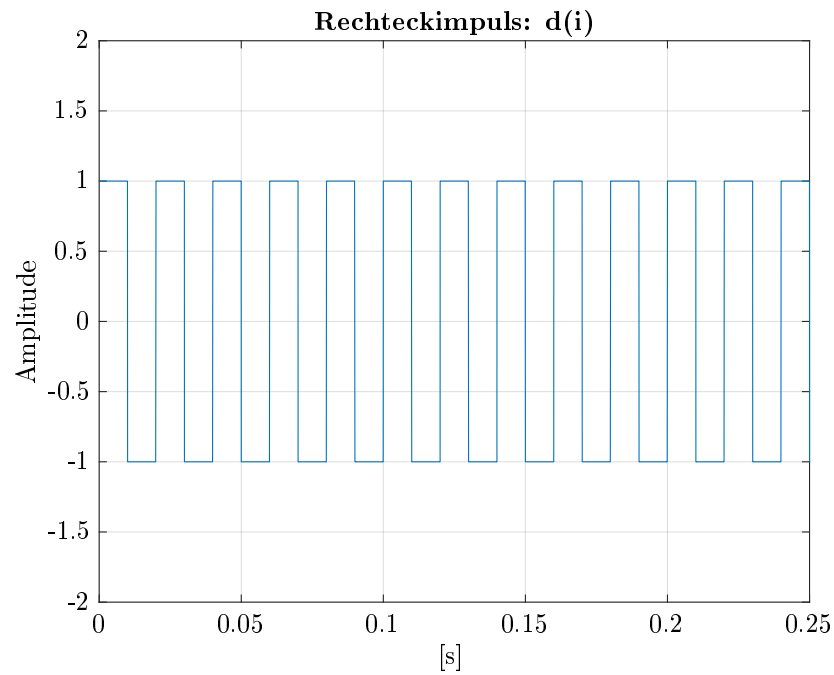


Figure 5: Rechteckimpuls zur CPFSK Simulation in Matlab

### 8.3 Anfangsphase $\phi(iT)$

Gegeben ist die ein Integrator (IIR Filter 1. Ordnung) mit der Übertragungsfunktion:

$$H_I(z) = \frac{z^{-1}}{1 - z^{-1}}$$

Dieser kann hier anstelle der Summenbildung der komplexen Einhüllenden eingesetzt werden, da die Integration einer Aufsummierung diskreter Flächenelemente unter der Kurve entspricht.

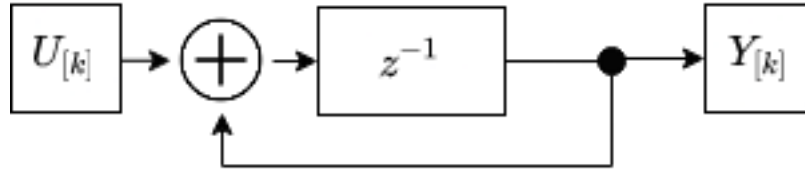


Figure 6: Signalflussdiagramm des Integrators 1.Ordnung

#### 8.4 CPFSK Signal

Das in Abschnitt 8.2 generierte Rechtecksignal wird nun CPFSK Modeliert. Dafür wird die Formel aus Worksheet 1 verwendet:

$$CPFSK_{sig} = amp \cdot \sin(2\pi i \cdot f_T \cdot n \cdot T_A + 2\pi i \cdot \Delta F \cdot \frac{\phi(iT)}{f_A} + \varphi_0)$$

Zur Bestimmung des Spektrums des Signals, wird in Matlab FFT verwendet. Bei

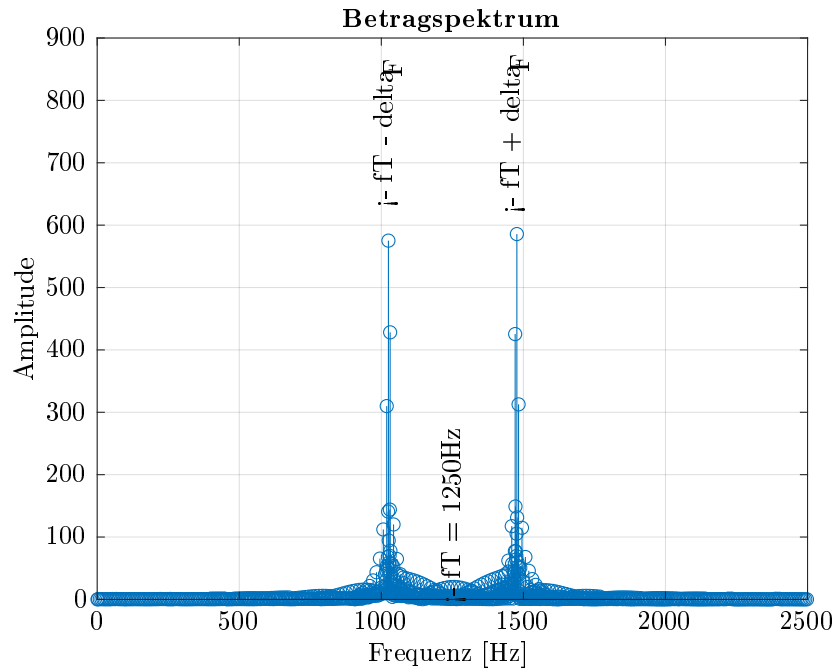


Figure 7: Betragspektrum des CPFSK-Modulierten Rechteckimpulses.

einem  $\Delta(F) = 225Hz$  wird hier eine Bandbreite von ca.  $B > 450Hz = 2 \cdot \Delta(F)$  erwartet.

Zur Bandbreitenbestimmung wird das Parsevalsche Theorem genutzt, die Bandbreite des CPFSK Signals ist derjenige Bereich, in den 99% der Signalenergie von  $0 \dots \frac{f_A}{2}$  fallen. Es ergibt sich hierbei eine Bandbreite von  $536\text{Hz}$

$$\sum_{n=0}^{N-1} |x(n)|^2 = \frac{1}{N} \sum_{k=1}^{N-1} |X(k)|^2$$

*% Die Bandbreite wird durch den Breich beschrieben, in den 99% der  
% Signalenergie fallen.*

```
total_power = 0;
current_power = 0;
idx = 0;
idx_max = round(length(spectrum_sig)/2);
idx_start = idx_max/2; % fA/4

for i = 1:length(spectrum_sig)/2 - 1
    total_power = total_power + abs(spectrum_sig(i))^2 / length(spectrum_sig);
end

N = length(spectrum_sig);

while current_power/total_power < 0.99
    current_power = current_power + abs(spectrum_sig(idx_start - idx))^2 / N;
    current_power = current_power + abs(spectrum_sig(idx_start + idx))^2 / N;
    idx = idx + 1;
end

fprintf("Bandbreite: %dHz\n", ((idx_start + idx) - (idx_start - idx)))
```

Das Weglassen der Start- und Stoppbits spielt bei der bestimmung der Bandbreite keine rolle. Es werden nur binäre Daten übertragen  $D = \{0,1\}$ . die Frequenzen  $f_1 = f_T \pm \Delta F$  repräsentieren. Da auch die Start/Stopbits durch  $D$  dargestellt werden, würde sich hier im Frequenzbereich nur eine veränderung im maximum der Amplitude ergeben, die repräsentierenden Frequenzen selbst bleiben unverändert.

## References

N.N (2021). Online <https://commons.wikimedia.org/w/index.php?curid=635074>.